

# **Neurolistérose**

## **Quand l'évoquer?**

## **Comment la prendre en charge?**

Caroline Charlier-Woerther

**CNR Listeria, Unité Inserm U1117, Institut Pasteur  
Maladies Infectieuses GH Paris Centre**

---

# Neurolistérose

## Pourquoi la question se pose?

- ✓ *L. monocytogenes* : distribution ubiquitaire
- ✓ Surveillance DO; exhaustivité élevée 87%
- ✓ Infection rare : environ 100 cas/ an France

✓ Neurolistérose = 4\*- 6\*\*% des méningites bactériennes

Van de Beek NEJM 2004\*  
Tubiana, JNI 2018\*\*

✓ Neurolistérose = 1\*- 10%\*\* des encéphalites infect. documentées

Granerod LID 2010\*  
Mailles CID 2009\*\*

# Neurolistériose

## Pourquoi la question se pose?

---

✓ La listériose est une infection grave

Mortalité 24-30%, stable depuis 40 ans

Séquelles chez 44% des survivants

✓ Le traitement présente des spécificités

Corticothérapie contre indiquée

Céphalosporines de 3<sup>ème</sup> génération inefficaces

✓ Le diagnostic est souvent retardé

L'examen direct du LCR n'est positif que dans 32% des cas

Mylonakis Medicine 1998  
Charlier LID 2017

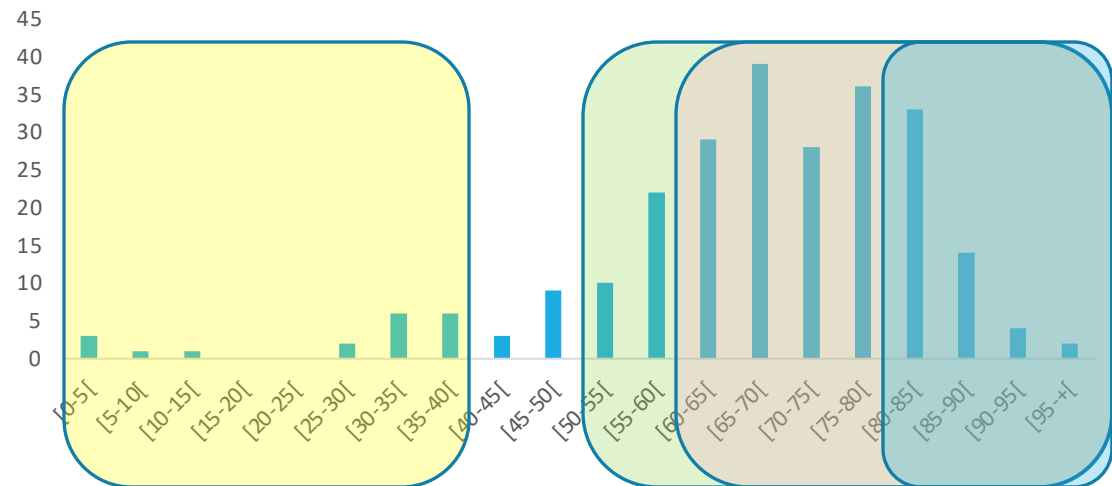


# Neurolistériose

## Quel terrain?

Characteristics	Neurolisteriosis N=252
Age – years	67±16
Male gender – no. (%)	152 (60)

Distribution des âges des patients avec Neurolistériose  
MONALISA n=252



UK guidelines > 60 : manquent 25%

US guidelines > 50 : manquent 12%

> 80 ans : 21%

< 40 ans sans comorbidité : 5%



# Neurolistériose

## Quel terrain?

Characteristics	Neurolisteriosis N=252
Age – years	67±16
Male gender – no. (%)	152 (60)
Associated comorbidities	
Median number of associated comorbidities	3 [1; 4]
Median number of immunosuppressive comorbidities	2 [1; 3]
At least one immunosuppressive comorbidities	216/252 (86)

### ✓ Comorbidités immuno-suppressives

- ✓ Diabète 22%
- ✓ Cancer solide 19%
- ✓ Hémopathie 14%
- ✓ Lymphopénie 12%
- ✓ Corticothérapie < 5 ans / active 31%/19%
- ✓ IS/corticothérapie < 5 ans /actifs 40% / 28%

PAS LA GROSSESSE

### ✓ Comorbidités liées à l'âge

Charlier LID 2017

Adriani CMI 2012

# Neurolistériose

## Consommation aliment à risque ?

- ✓ Identifiée chez 100% des cas et des témoins (252/252 et 94/94)
- ✓ **Incubation 9 jours (1-14j)**
- ✓ **3 sources : lait cru/charcuterie/ preparations traiteurs**

### Polony in South Africa (2016-7)

Raw milk dairy products

Meat spreads patés

Ready to eat food

1980



Sprouts (USA 2009)

Cantaloupe (USA 2011)

Caramel apples (Canada 2014)

2020



Goulet

BMC Infect Dis 2012

Dalton NEJM 1997

Aureli NEJM 2000



# Neurolistérose

## Quels signes cliniques?

- ✓ Méningo-encéphalite 84%
- ✓ Méningite isolée 13%
- ✓ Encéphalite isolée 3%

E M



- ✓ Délai premier symptôme / réalisation de la PL : 3.3 j (SD 5)
  - ✓ Fièvre 96%
  - ✓ Atteinte du tronc cerebral rare 17% et non spécifique
- fréquence égale chez cas et témoins

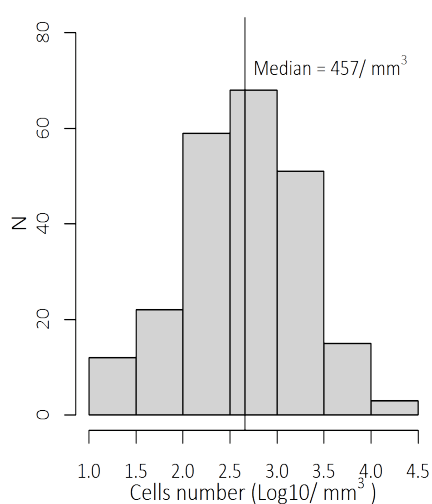
Charlier Lancet ID 2017



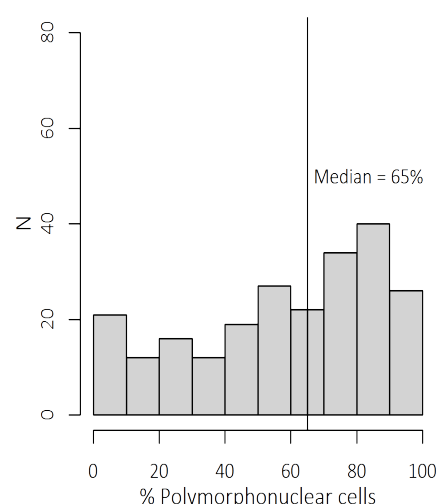
# Neurolistérose

## Profil LCR?

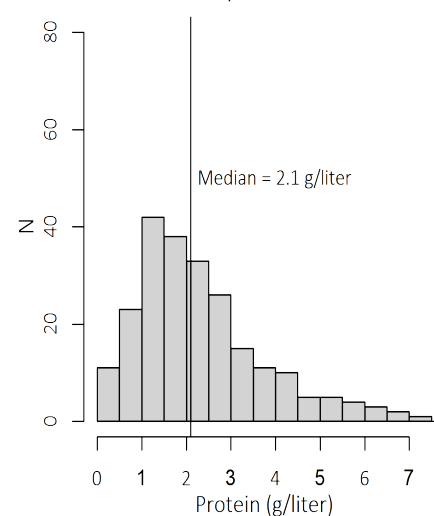
Distribution of the CSF nucleated cells number



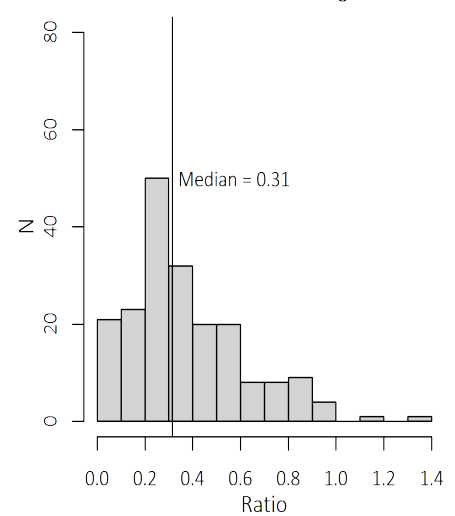
Distribution of the PMN : all nucleated cells ratio



Distribution of protein levels in the CSF



Distribution of the CSF : blood glucose ratio

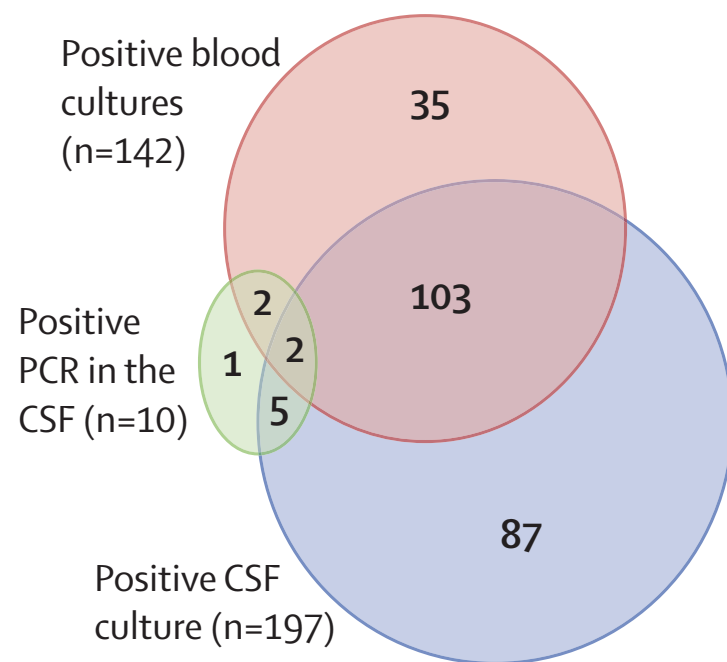




# Neurolistérose

## Bactériologie

- Examen direct positif LCR 32%
- Culture positive LCR 84%
- PCR positive LCR 63%
- Hémocultures positives 63%



Charlier LID 2017



# Neurolistérose

## Profil clinique/LCR



- Examen direct positif LCR 32%
- Culture positive LCR 84%
- Hémocultures positives 63%
- **Aucun patient ne présentait une méningite lymphocytaire isolée, sans atteinte encéphalique, ni comorbidité immunosuppressive**



# Profil radiologique

	Lesion (n=, %)	Study population, n=71 patients
Meninges	<b>Meningitis</b>	<b>25/71 (35%)</b>
Parenchyma	<b>Brain abscess(es)</b>	<b>4/71 (6%)</b>
	<b>Nodular lesions evocative of abscesses</b>	<b>7/71 (10%)</b>
	<b>Non-specific white matter lesion</b>	<b>42/71 (59%)</b>
	<b>Atrophy</b>	<b>33/71 (46%)</b>
	<b>Dilated Virchow-Robin spaces</b>	<b>22/71 (31%)</b>
	<b>Cerebral herniation</b>	<b>2/71 (2%)</b>
	<b>Diffused brain edema</b>	<b>1/71 (1%)</b>
Ventricule	<b>Contrast-enhancing ventricles</b>	<b>2/71 (3%)</b>
	<b>Hydrocephalus</b>	<b>10/71 (14%)</b>
Vessels	<b>Vasculitis</b>	<b>2/71 (3%)</b>
	<b>Haemorrhage</b>	<b>10/71 (14%)</b>
	<b>Ischemia</b>	<b>7/71 (10%)</b>
Other	Concomitant tumoral lesion	5/71 (7%)
None	No lesion	9/71 (13%)

Comorbidities

Specific lesions



# Profil radiologique

## Valeur pronostique

---

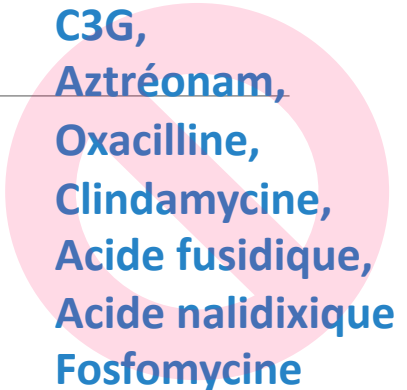
### Multivariate analysis

Parameter	Odds ratio (95% CI)	p value
<b>Parenchymal involvement with abscess(es), nodule(s) and/or non-specific white matter lesions</b>	<b>5.60 (1.42-29.6)</b>	<b>0.02</b>

# Prise en charge données *in vitro*

---

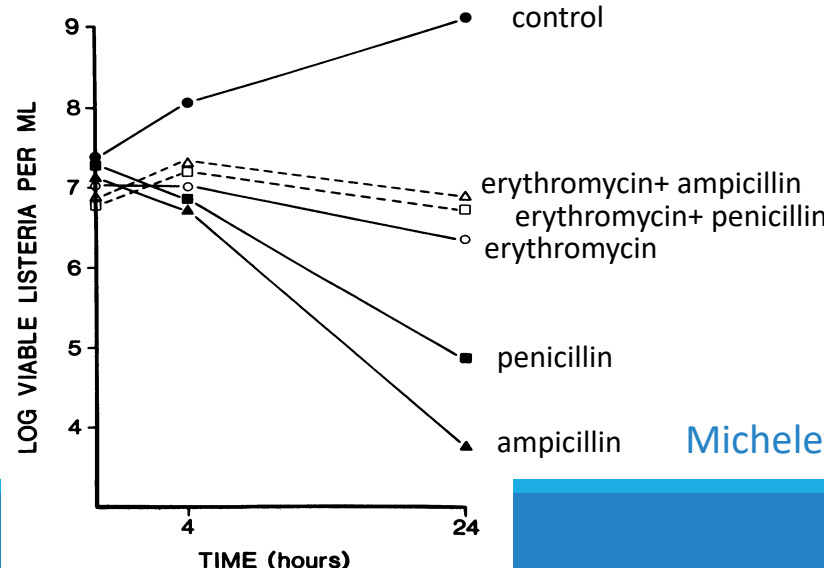
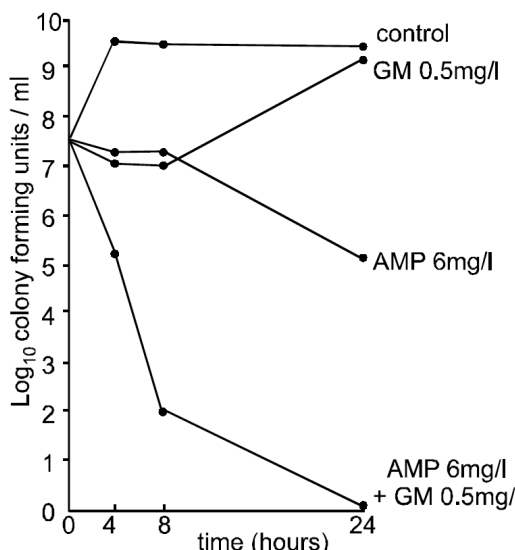
- ✓ Résistance naturelle
- ✓ Pas d'émergence de résistance antibiotique
- ✓ Peu de molécules bactéricides *in vitro*



C3G,  
Aztréonam,  
Oxacilline,  
Clindamycine,  
Acide fusidique,  
Acide nalidixique  
Fosfomycine

# Prise en charge données *in vitro*

- ✓ Résistance naturelle
- ✓ Pas d'émergence de résistance antibiotique
- ✓ Peu de molécules bactéricides *in vitro*
- ✓ Combinaisons antagonistes *in vitro*



Penn AAC 1982  
Hof CMR 1997  
Naim 1995  
Grayo AAC 2008  
Tuazon AAC 1982  
Winslow AAC 1982  
Scheld RID 1083  
Michelet AAC 1994 and 1998

# Prise en charge données animales

---

✓ Efficacité des molécules bactéricides dans modèles rongeur/lapin

✓ Amoxicilline+ gentamicine > cotrimoxazole (méningite rat)

Michelet AAC 1999

✓ Amoxicilline + gentamicine > = amoxicilline (méningite **lapin/souris**)

Scheld JID 1979

Hof Infection 1989

✓ Pas de supériorité d'une combinaison sur une autre

# Prise en charge Diffusion méningée

- ✓ Amoxicilline : 6-20%
- ✓ Imipénème : 14%, Méropénème 39%
- ✓ Aminosides : 20%
- ✓ Fluroquinolones 30-70%
- ✓ Triméthoprime 40-50%

Nau CMR 2010

Compound (reference[s] for CSF penetration)	AUC <sub>CSF</sub> /AUC <sub>S</sub> <sup>b</sup>	
	Uninflamed or mildly inflamed meninges	Strong n inflam
Penicillins	<b>0.02</b>	<b>0.2</b>
Penicillin (46, 107, 108, 194, 246)		
Nafcillin (164)		
Cloxacillin (46, 217)	0.0087	
Amoxicillin (18, 35)		0.058
Ampicillin (35, 46, 72)		
Mezlocillin (94)		
Piperacillin (51, 168)	0.034	0.32
Carbapenems	<b>0.2</b>	<b>0.3</b>
Imipenem (15, 155, 263)		0.14
Meropenem (34, 41, 142, 170)	0.047, 0.21, 0.25	0.39
Aminoglycosides	<b>0.2</b>	Not available
Gentamicin (28, 46)		
Netilmicin (29, 55, 177)	0.24	
Amikacin (26, 76)		
Fluoroquinolones	<b>0.3–0.7</b>	<b>0.7–0.9</b>
Ciprofloxacin (173, 261)	0.24, 0.43	0.92
Ofloxacin (169)	0.62	
Levofloxacin (189, 223)	0.71	
Moxifloxacin (4, 5, 105)	0.46	0.79 (0.71–0.9)
Chloramphenicol (46, 74, 270)	0.6–0.7	0.6–0.7
Macrolides (98)		
Clarithromycin (137)	Not available	0.18
Tetracyclines		Ratios of individual CSF and serum samples suggest AUC ratio ~0.2
Doxycycline (56, 107, 108, 269)		Ratios of individual serum samples sug AUC ratio ~0.2
Fosfomycin (75, 115, 193)	0.18 (0.09–0.27)	Not available
Linezolid (20, 252)	0.9 (0.8–1)	Not available
Metronidazole (93, 101, 258)	Not available	0.87
Rifamycins		
Rifampin (52, 62, 89, 106, 150, 163, 174)	0.22	Not available
Trimethoprim and sulfamethoxazole (57, 125, 257)		
Trimethoprim	0.18	0.42–0.51
Sulfamethoxazole	0.12	0.24–0.30
Glycopeptides		
Vancomycin (2, 31, 65, 192, 205)	0.18, 0.14	0.30 (0.29–0.48)

# MONALISA



## Patients avec septicémie et neurolistérose

- ✓ Association indépendante avec meilleure survie

Paramètre	OR DECES [95CI]	P
Cotrimoxazole	0·49 (0·26–0·92)	0·027
Aminoside	0·60 (0·38–0·94)	0·024
Betalactamine active	0·10 (0·04–0·26)	< 10^4

	Survie avec	Survie sans
Betalactamine active	66%	11%
Aminoside	69%	46%

- ✓ Durée de la bithérapie (< >3 jours ) a un effet protecteur indépendant OR 0.35 [95% CI 0.22–0.56], p<0.0001).

# MONALISA



## Patients avec septicémie et neurolistérose

### ✓ Combinaison amoxicilline/gentamicine

- ✓ Amoxicilline 200mg/kg/j → 21 jours
- ✓ Gentamicine 5 mg/kg/j → au moins 3-5 jours

### ✓ Place du cotrimoxazole (TMP 8mg/kg/j)

- ✓ En deuxième intention
- ✓ En association dans les formes abcédées
- ✓ Allergie betalactamines

### ✓ Place méropénème mal définie

- ✓ Allergie amoxicilline



# Neurolistériose

## Pas de dexaméthasone

Paramètre	OR DECES [95CI]	P
Dexaméthasone adjuvante	4·58 (1·50–13·98)	0·008

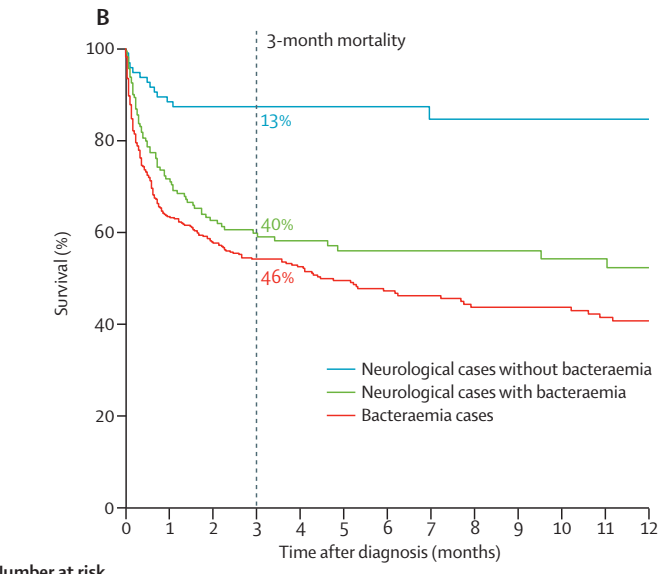
	Survie avec	Survie sans
Dexamethasone	47%	73%



# Neurolistériose

## Facteurs associés à la mortalité

Paramètre	OR [95CI]	P
Hémocultures positives	3·67 (1·60–8·40)	0·002
Monocytopénie	3·70 (1·82–7·49)	0·0003
Défaillance multi viscérale	7·98 (4·32–14·72)	< 10 <sup>4</sup>
Décompensation comorbidité	4·35 (2·79–6·81)	< 10 <sup>4</sup>
Néoplasie évolutive	5·19 (3·01–8·95)	< 10 <sup>4</sup>



Paramètre associé en analyse multivariée à une survie réduite dans les neurolistérioses

Paramètre associé en analyse multivariée à une survie réduite dans les neurolistérioses et les formes septicémiques

# Neurolistériose

## Facteurs associés aux séquelles



- Séquelles neurologiques chez 44% des survivants
- Séquelles : fonctions supérieures, convulsions, n. crâniens, cervelet

Survie sans séquelles

→ 39% des patients avec neurolistériose

→ 31% des patients avec encéphalite

Paramètre	OR [95CI]	P
Nombre de signes neurologiques focaux	1·37 (1·11–1·69)	0·004
Encéphalite	21·65 (2·58–181·59)	0·005

# Acknowledgements to:

**National Reference Center  
and WHO-CC Listeria  
Biology of Infection Unit  
Inserm U1117  
Institut Pasteur**

**Marc Lecuit**  
Benoit Cazenave  
Benoit Pilmis  
Irma Pelaez  
Kelly Cheung  
Tiffany Ozil  
Sophie Pfister  
Camille Levalois  
Thierry Cachina  
Magatte Fall  
Gabrielle Coupier  
Alexandre Leclercq  
Mylène Maury  
Hélène Bracq-Dieye  
Pierre Thouvenot  
Guillaume Vales  
Nathalie Tessaud-Rita  
Olivier Disson  
Alexandra Moura

**Santé Publique France**

Véronique Goulet  
Mathieu Tourdjmann  
Edith Laurent  
Jet de Valk

**Centre d'Epidémiologie  
Clinique Hôtel Dieu  
INSERM U738**

Philippe Ravaud  
Gabriel Baron  
Elodie Perrodeau  
Raphael Porcher

**Plateforme ICAREb**

Marie-Noelle Ungeheuer  
Catherine Ottone  
Céline Chapel

**Radiology Department,**

**Necker Hospital**  
Sylvain Poirée  
Gaby Khoury  
Christophe Delavaud  
Olivier Hélénon

**Unité de recherche clinique**

**Paris Centre**  
Laurence Lecomte  
Prissile Bakouboula

**Microbial Evolutionary  
Genomics Unit**  
Sylvain Brisson

**Unité de génétique  
évolutive humaine  
CNRS URA 3012**

Lluis Quintana  
Etienne Patin  
Sebastian Cuadros-Espinoza

**Human genetics of  
infectious diseases**

**Fondation Imagine**  
Jean-Laurent Casanova  
Vanessa Sancho Shimizu  
Dusan Bogunovic

**ASSISTANCE  
PUBLIQUE**

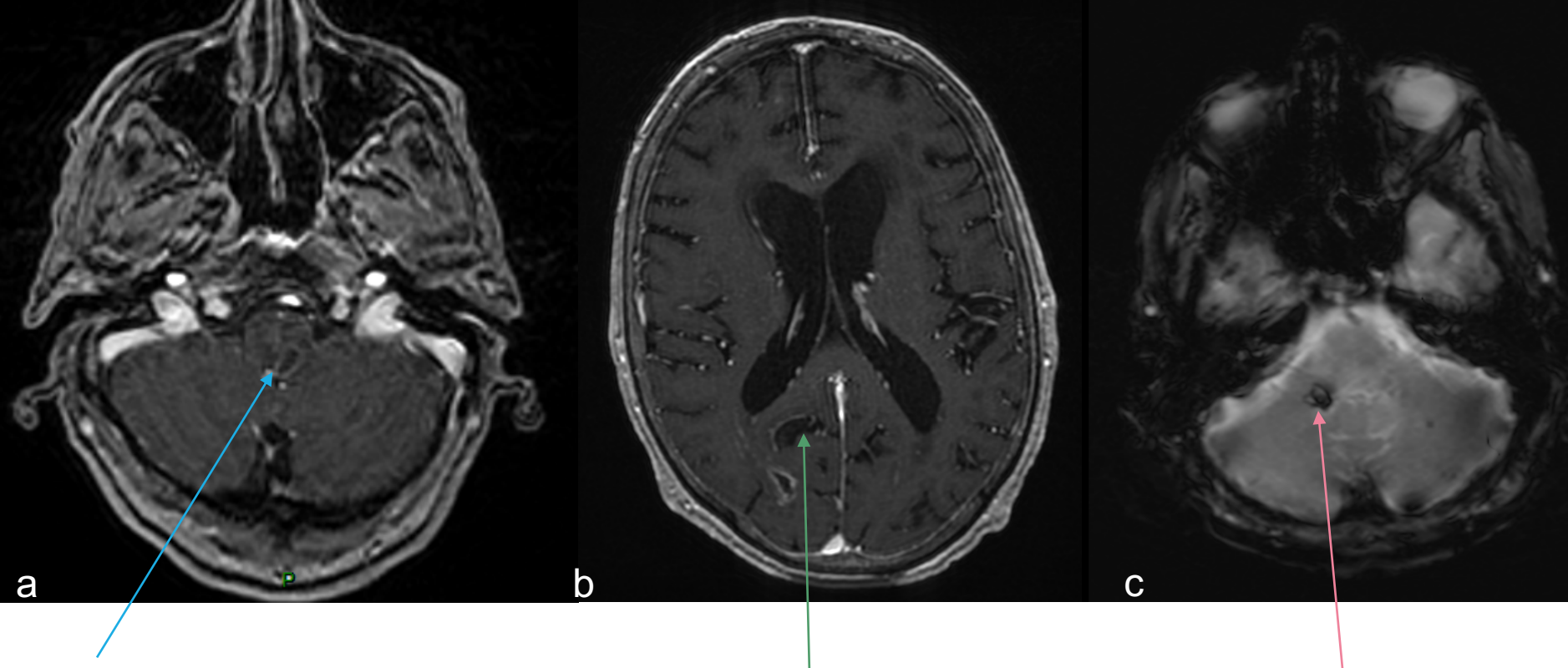
**Infectious Diseases**

**Department, Necker Hospital**  
Olivier Lortholary  
Clémence Richaud



**And the clinicians and microbiologists  
involved in the management of the  
1,342 patients included**

**Faculté Vétérinaire Suisse  
Université Berne**  
Anna Oevermann  
Joachim Frey



a

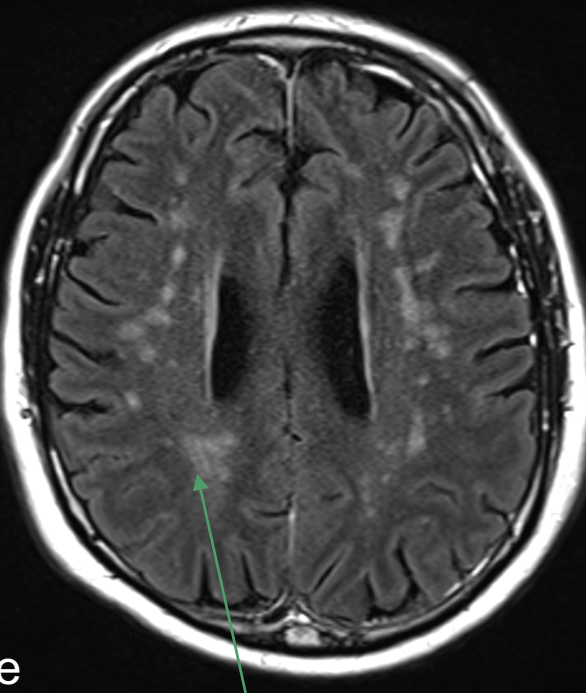
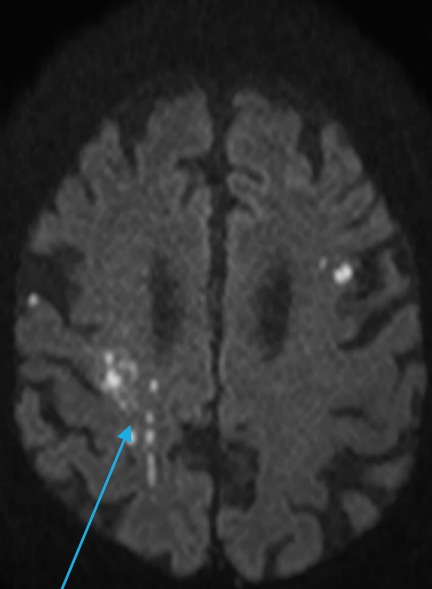
b

c

**A.** Axial contrast-enhanced T1-weighted MRI with a ring-like enhancing pons lesion corresponding to an abscess (arrow head).

**B.** Axial contrast-enhanced T1-weighted MRI with a ring-enhancing lesion of the right parietal lobe corresponding to an abscess (arrow head) with focal meningeal enhancement.

**C.** Axial T2 gradient-echo MRI with markedly hypo signal in right cerebellar peduncle corresponding to focal bleeding.



d

e

f

**D.** Axial diffusion weighted MRI with bilateral supra-tentorial cerebral dot-like hyper signals corresponding to ischemic lesions highly evocating of radiological vasculitis.

**E.** Axial T2 spin-echo MRI with symmetric hyper signals of supra-tentorial white matter.

**F.** Axial contrast-enhanced T1-weighted MRI with hydrocephalus and contrast-enhancing ventricles.